

運輸省 正員 細川泰廣
 京都大学工学部 正員 中川博次
 京都大学工学部 正員 辻本哲郎

1. まえがき 掃流過程の本質的特徴は平均的な砂の流れといえども砂の個々の粒としての挙動の特性がいかなり保存され、平均的な運動をする粒の集合としては取り扱えないことである。すなわち個々の砂粒の確率的挙動が個別のものとの性質を保ちながら全体としての現象を構成している。したがって、掃流機構の解明には stochastic な面と deterministic な面の結合が必要で、どちら一方では達成し得ない。本報は、16mm フィルム解析による掃流過程（但し平坦河床に限る）の詳細な観察からこのような不規則性状をも含め、掃流砂の運動機構を探るというものである。図-1 にその一つのサンプル（確率的母集団からの一つの標本）が示されるように、掃流砂の挙動は複雑で、ときに床面に散在する突起との衝突による激しい大きな変動によって特徴づけられる。本研究では主としてこれに着目し、力学モデルを基礎として確率的検討を行う。

2. 個々の砂れきの挙動 16mm フィルム解析による掃流砂れきの挙動の観察から、掃流過程を激しく大きい変動を与える衝突過程と、流体力によくかか連絡されながら流水の乱れと床面摩擦のゆるやかにほぼ均質な変動の影響を受け、流送されると過度とに分けられると看合が良い。前者は衝突による速度変化を与える確率密度 $f(v_3 | v_1, \Delta x)$ で、一方後者は初速度と衝突しない限度の移動距離の条件を付した速度分布の p.d.f. (確率密度度度数) $f(v_1, v_3 | \Delta x, V_0)$ で表現される。

以下は砂れき速度 v を摩擦速度 V_0 で、 Δx は移動距離 Δx を粒径 d で無次元化したもの、下付添字 0, 1, 3 はそれぞれ初期値および衝突前後の状態の値を示す。

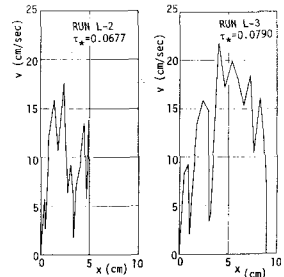


図-1

さて、床面が移動を開始した砂れきの第1番目の突起に衝突する直前の速度分布は、粒径による無次元突起間隔の p.d.f. を $f_x(X_*)$ として次式で与えられる。

$$g_1^1(V_{x3}) = \int_0^\infty f(v_1, v_3 | \Delta x, 0) f_x(X_*) dX_* \quad (1)$$

ここで上付添字は突起の番号を示す。突起1に衝突後正確には突起乗り越し後の砂れきの速度分布は、

$$g_3^1(V_{x3}) = \int_0^\infty h(V_{x3} | V_{x1}) g_1^1(V_{x1}) dV_{x1} \quad (2)$$
 表わされるとのとおり、この突起乗り越し後 V_{x1} を初速度として次の突起に向う。したがって、第2番目の突起への衝突直前には砂れきの速度分布は、

$$g_1^{ii+1}(V_{x3}) = \int_0^\infty g_3^1(V_{x3}) f(v_1, v_3 | \Delta x, V_{x3}) f_x(X_*) dX_* = \int_0^\infty \int_0^\infty g_1^i(V_{x1}) h(V_{x3} | V_{x1}) f(v_1, v_3 | \Delta x, V_{x3}) f_x(X_*) dV_{x1} dV_{x3} dX_* \quad (3)$$
 で与えられる。同様の考察を進めることにより、一般に $i+1$ 番目 ($i \geq 1$) の突起との衝突直前 V_{x1} での突起乗り越し直後の速度分布は、次のように準拠式形式で与えられることがわかる。

$$g_i^{ii+1}(V_{x3}) = \int_0^\infty g_1^{ii+1}(V_{x3}) h(V_{x3} | V_{x1}) dV_{x1} \quad (4)$$
 ただし、突起間隔 (X_*): independently, identically distributed である。すなわち、衝突直後ににおける砂れきの速度分布 (衝突間のものも含む) は、砂面の構成状態を表わす $f_x(X_*)$ 、衝突の力学過程を表示する $h(V_{x3} | V_{x1})$ および衝突のない比較的均質な運動状態を表わす $f(v_1, v_3 | \Delta x, V_0)$ とで表現される。

3. 砂面の凹凸状況 平坦河床といえども粒径程度の砂面の不規則性がみられ、掃流砂れきの挙動はこれによく大きく影響される。図-1 に見られるように急激な砂れき速度の減少はこれによるもので、図-1 をもとに速度の急激な変化をもたらすような有効突起間隔を調べた。これより水理条件にほとんど関係なく、その平均値 (\bar{X})、変動係数について次式が認められた。

$$\bar{X}/d = 5.0 \sim 7.0, \alpha_x = 0.6 \sim 0.7.$$
 この結果突起間隔の分布は

図-2 に示すように、shape parameter が 3 程度の gamma 分布で表示し得ることがわかった。すなわち、 $\lambda = X/X_*$ と標準化して

$$f_X(\lambda) = \frac{\gamma}{2} \lambda^{\gamma-2} \exp(-\lambda) \quad (6)$$

である。これは砂面凹凸を詳細にハイドロジで測定した結果、平均河床面より粒径の 0.3 倍程度上方に運動面を仮定した時の突起間隔に一致し、このとき突起高さは平均値の粒径の 0.3 倍、変動係数が約 1 となり、指數分布で表示するのが適當と考えられる。すなわち、粒径無次元化した突起高さ Δx_0 の p.d.f. は

$$f_H(\Delta x_0) = (1/\Delta x_0) \exp(-\Delta x_0/\Delta x_0) \quad (7)$$

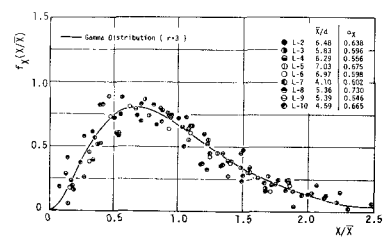


図-2 衝突に有効な突起の間隔分布

となる。但し $\Delta x_0 = 0.3$ である。

4. 衝突過程 衝突の際の突起粒子及びその周辺粒子のすべり動きを無視した衝突モデル²⁾を用いると、衝突直前速度(v_1^*)、突起高さ($\Delta^* + d$)が与えられたときの突起乗り越し後の砕けきの速度は次式で与えられる。 $v_2^* = \sqrt{(1+4k^2/d^2 - 2\Delta^*)/(1+4k^2/d^2)} v_1^{*2} - 2\Delta^* k$ (8)
 但し、 $v_2^* = v_1^*/\sqrt{g_d}$ 、 k : 砕けきの回転半径(2次半径)であり、 $B_A = (\rho/\rho - 1)/[(\rho/\rho + CM) \cdot (1 + 4k^2/d^2)]$ (9) ρ/ρ : 砕けきの比重、 CM : 付加質量係数である。ところで Δ^* は確率係数 α のいまだに与えられていない場合でさえ(も、ヒトもこれも確率度数である) v_2^* は確率変数である。すなわち条件付確率変数 $\{v_2^* | v_1^*\}$ を考えるのが聴覚的で、このp.d.f.は衝突による v_2^* から v_1^* への確移確率となる。これは次式で与えられる。 $f_H(v_2^* | v_1^*) = f_H(\bar{v}_2^*) \delta(v_2^* - \bar{v}_2^*)$ (10)
 ここで \bar{v}_2^* は式(8)を Δ^* について解いたもので、 \bar{v}_3^*, \bar{v}_1^* の関数となる。上式を用い、次式で計算される $E[v_2^* | v_1^*]$ は図-3に示すように実験値と良く合致する。一方、 $\{v_2^* | v_1^*\}$ の変動係数は実験結果によると一定で約0.5となり、 $f_H(v_2^* | v_1^*)$ はこれらを考慮してgamma分布で近似される。

$$E[v_2^* | v_1^*] = \left[\frac{1}{4} (0.08 \bar{v}_1^{*2} + 0.3) \right]^{1/2} / (4) \bar{v}_1^{*3} \cdot \exp \left\{ -4 \bar{v}_1^{*2} / (0.08 \bar{v}_1^{*2} + 0.3) \right\} \quad (11)$$

5. 運動過程 衝突を伴わない粒子の運動過程は、摩擦係数が図-4に示すように粒子速度に依存するとした滑動形式の運動方程式で、そのアンサンブル平均を記述することができる³⁾(図-5参照)。すなわち、こうした運動表示により、 $v_R^* = \bar{v}(x^*, v_{R0})$ (12) なる形が得られている。一方、その運動のゆらぎを実験によく検討すると、粒子速度の条件付変動係数 $\alpha(v_R^*)$ は x^* に対する一定値0.25程度をもっている。したがって、 $f_R(v_R^*)$ は次のようないわゆるgamma分布で近似できると考えられる。

$$f_R(v_R^*) = \left[\frac{16}{\pi} (x^*, v_{R0}) \right]^{16} / [16] \bar{v}_R^{*15} \cdot \exp \left\{ -16 \bar{v}_R^* / \pi (x^*, v_{R0}) \right\} \quad (13)$$

6. 掃流砕けきの速度分布 3, 4, 5で与えられる情報をもとに提示したモデルに導入することによって多少の修正、ときに速度分布を知ることができる。すなわち式(4), (5), (6), (11), (13)を代入して数値計算を行ない、衝突直前及び突起乗り越し後の砕けきの速度の期待値と変動係数を求めた。この結果は図-6, 7に示される通り、期待値、変動係数とも数回の衝突で平衡値に達しており、 $\bar{v}_{R1} = 2.8$, $\alpha_{v_R} = 0.36$; $\bar{v}_{R3} = 1.2$, $\alpha_{v_R} = 0.77$ を得た。これらは表-1、図8に示される実験結果と良く合致している。

7. あとがき 本報では掃流過程のstochastic modelの優位性に触れたが、これに対する力学的背景を明確にする目的で詳細な検討を行った。本研究の結果掃流砕けきの運動の力学的機構は確率論的手法を用いて初めて明らかにしえ得るものであることがわかった。掃流過程の力学的統計力学的構成し得るものであるとの確信が得られた。

表-1 衝突過程についての実験結果

RUII	\bar{v}_{R1}	α_{v_R}	\bar{v}_{R3}	α_{v_R}
L-2	3.14	0.41	1.44	0.71
L-3	2.91	0.47	1.16	0.73
L-4	3.42	0.40	1.30	0.76
L-5	3.44	0.33	1.27	0.70
L-6	3.14	0.35	1.09	0.73

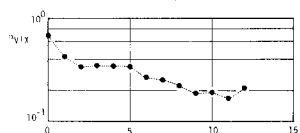


図-10 運動過程での砕けき速度の変動係数

<参考文献> 1) 中川・辻本・細川: 昭和54年度防災研究報告書、1979, 2) 中川・辻本: 土木学会論文報告集、1975, 3) 中川・辻本・細川: 広大防災研究前年報(採稿中) 1979.

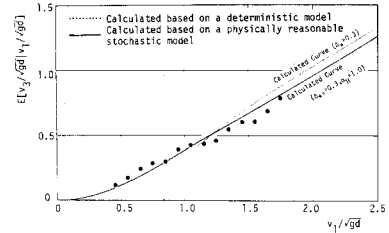


図-3 衝突後砕けき速度の条件付平均値

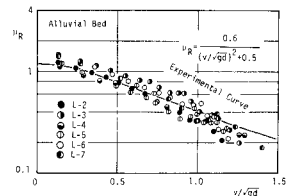


図-4 掃流砕けきの摩擦係数

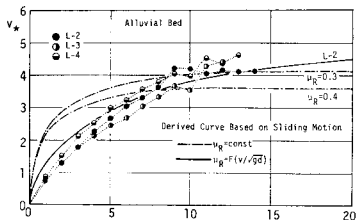


図-5 掃流砕けきの運動のアンサンブル平均

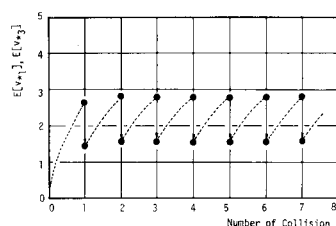


図-6 衝突後での砕けき速度の期待値(計算値)

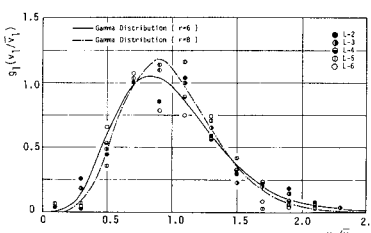


図-7 衝突前の砕けき速度の変動係数(計算値)

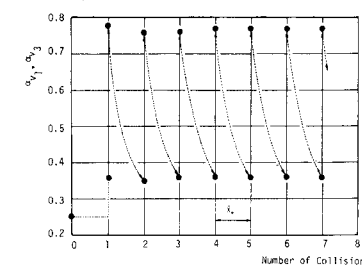


図-8 衝突直前の砕けき速度の分布

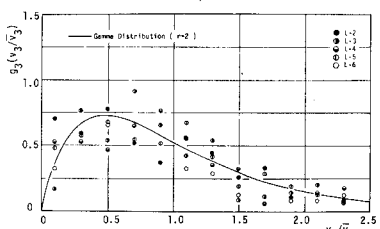


図-9 衝突直後の砕けき速度の分布